

Rafael Sautolin

UNIVERSIDADE DE SÃO PAULO

INSTITUTO OCEANOGRÁFICO

**DISCIPLINA: IOF 5855- MÉTODOS DE ANÁLISE DE DADOS
QUASE-SINÓTICOS EM OCEANOGRAFIA FÍSICA**

PROFESSOR: ILSON CARLOS A. DA SILVEIRA

Ementa Programática

ANO LETIVO DE 2006

Objetivos:

- Descrever os processos físicos do oceano a partir de informação obtida por dados quase-sinóticos.
- Extrair informação dinâmica dos processos via redução, manipulação e "calibração" dinâmica de dados quase-sinóticos.

Arcabouço Teórico: Quase-Geostrofia

Programa Tentativo:

1. O oceano continuamente estratificado quase-geostrófico;
2. Decomposição e recomposição modal;
3. Interpolção dinâmica;
4. Modos estatísticos - Funções Ortogonais Empíricas;
5. Mapeamento de função de corrente;

Revisão de quase-geostrofia

↳ observada e geostrofica

6. Modelos de múltiplas camadas – formalismo;
7. Calibração dinâmica de modelos de camadas;
8. Mapeamento de vorticidade potencial;
9. Modelos de inversão de vorticidade potencial;
10. Modelos de instabilidade barotrópica; e
11. Modelos de instabilidade baroclínica.

Formato:

Todas as quartas

Manhãs (9:00³⁰ às 12:00³⁰ h): Fundamentos teóricos

Tardes (14:00 às 17:00 h): Práticas

Avaliação:

80% - 05 Relatórios de prática

20% - 05 Problemas teóricos

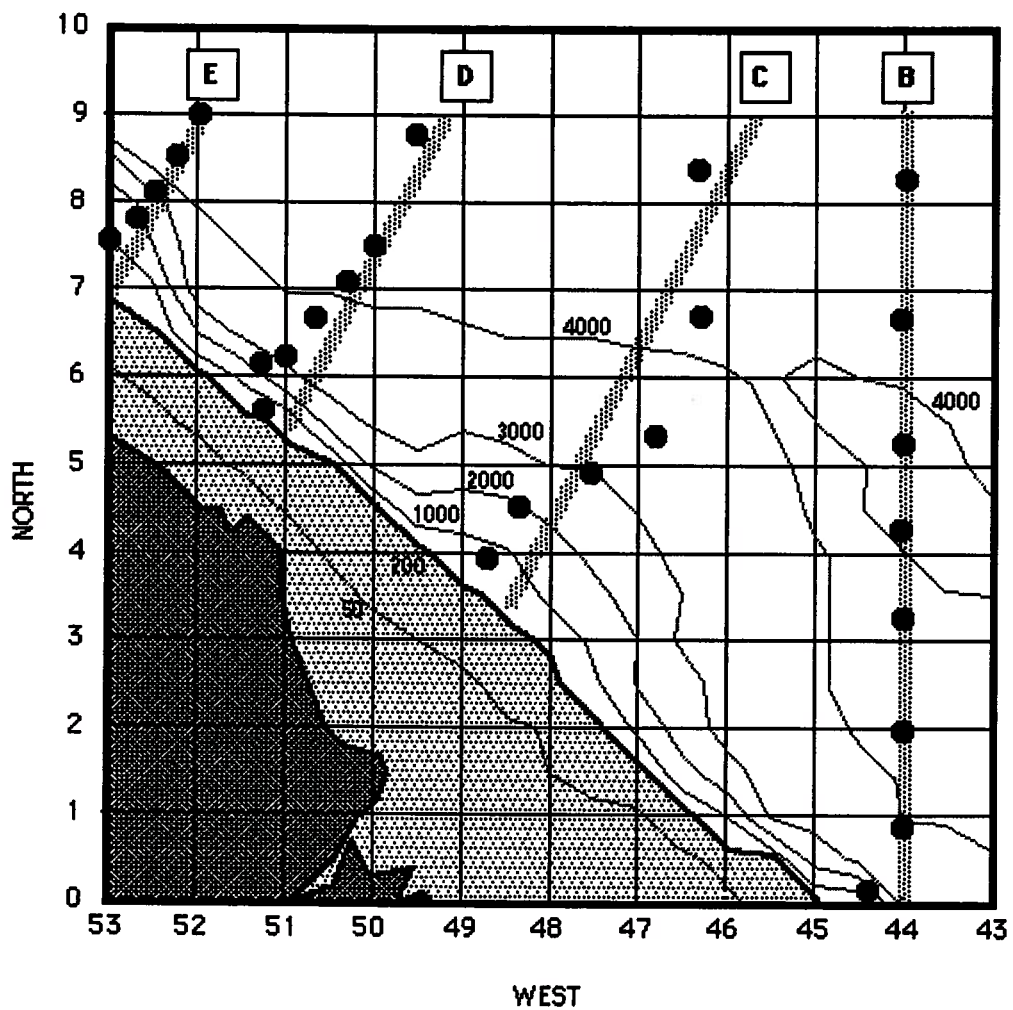
Referências Úteis:

- Data Analysis Methods in Physical Oceanography por Emery & Thomson
- Introduction to Geophysical Fluid Dynamics por Cushman-Roisin
- Geophysical Fluid Dynamics por Pedlosky
- General Circulation of the Ocean por Abarbanel & Young

Conjunto de Dados:

CTD e PEGASUS

“Western Tropical Atlantic Experiment-WESTRAX”, realizado entre 1990 e 1991, contendo perfilagens hidrográficas e de velocidade da região da Corrente Norte do Brasil.



4 cruzeiros, 2 muito interessantes

WESTRAX 2 e WESTRAX 4 - paper de 2000
Set/1990 jun/91

→ paucido com o do paper

14/06/2006

MÉTODOS E TÉCNICAS DE ANÁLISE DE DADOS QUASE-SINÓTICOS

IOF. 8555

1

Prof. Ilson Carlos Almeida da Silveira

Aulas Teóricas: 4^ªf 9:30h - 12:30h

Aulas Práticas: 4^ªf 14:00h - 17:00h

ITEM ZERO:

Considerações Quase-Geostroficas

→ Número de Rossby apelido da eq. do movimento num viscosidade (atrito)

(1) As eq. de Euler sob a aproximação de Boussinesq e:

$$(1) \frac{D\vec{v}}{Dt} + \vec{f} \otimes \vec{v} = - \frac{\nabla p}{\rho_0} + \nabla \Phi \quad ; \quad \vec{f} = 2\Omega \sin \theta \vec{k}$$

$p = \text{cte}$

$\Phi = -gz$ (geopotencial)

obs: $\frac{D}{Dt} = \frac{\partial}{\partial t} + \underbrace{\vec{v} \cdot \nabla}_{\text{advection}}$

derivada lagrangiana ou material ou substantiva

• Aprox de Boussinesq $\frac{\rho'}{\rho_0} \ll 1$

• Aproximação tradicional $\vec{f} = \underbrace{\tilde{f}}_{\text{desinteressante dinamicamente}} + f\vec{k}$

① N^o de Rossby é simplesmente a razão entre as ordens de grandeza envolvendo $\frac{(a)}{(b)}$.

$$Ro = \frac{\left| \frac{D\vec{v}}{Dt} \right|}{|\vec{f} \otimes \vec{v}|}$$

Por simplicidade, consideremos a componente zonal da eq. (1) e a escala advectiva do tempo $\Rightarrow T = \frac{L}{U}$

$$Ro = \frac{\left| \frac{Du}{Dt} \right|}{|f\vec{v}|}$$

com a escala advectional de T ,

$$\frac{\partial u}{\partial t} = 0 \quad (\vec{v} \cdot \nabla u)$$

$$Ro = \frac{U}{fL} = \frac{U^2}{fLU} \Rightarrow$$

$$Ro = \frac{U}{fL}$$

Consideremos a aproximação do plano β :

a = raio médio da Terra ~ 6380 km

y = distância medida

$$f = 2\Omega \sin \theta \vec{k} \therefore f = \left(\underbrace{2\Omega \sin \theta_0}_{f_0} + \underbrace{\frac{2\Omega \cos \theta_0 y}{a}}_{\beta} \right) \vec{k}$$

$$\rightarrow f = f_0 + \beta y$$

f_0
parâmetro de Coriolis médio

β
parâmetro de Rossby

Assim, no plano β , as componentes horizontais de (1)

$$\left. \begin{array}{l} \text{Balanço} \\ \text{Geostrofico} \end{array} \right\} \begin{cases} -f\bar{v} = -\frac{1}{\rho_0} \frac{\partial p}{\partial y} + O\left(\frac{U^2}{L}\right) & (2) \\ f\bar{u} = -\frac{1}{\rho_0} \frac{\partial p}{\partial x} + O\left(\frac{U^2}{L}\right) & (3) \end{cases}$$

No caso de $Ro \ll 1$ (quase-geostrofia),

$$\bar{v} = \frac{1}{\rho_0 f} \frac{\partial p}{\partial x} + O(Ro U) \quad (4)$$

$$\bar{u} = -\frac{1}{\rho_0 f} \frac{\partial p}{\partial y} + O(Ro U) \quad (5)$$

Em outras palavras,

$$\bar{v} \text{ geostrofica } (O(1)) \rightarrow \frac{1}{\rho_0 f} \frac{\partial p}{\partial x}$$

$$\bar{v} = \bar{v}_0 + O(Ro U)$$

\rightarrow ord. de ordens menores

$$\bar{u} = \bar{u}_0 + O(Ro U)$$

o tamanho da velocidade vertical

(2)

$$\underbrace{\frac{\partial u}{\partial x} + \frac{\partial v}{\partial y}}_{\frac{U}{L}} + \underbrace{\frac{\partial w}{\partial z}}_{\frac{W}{H}} = 0$$

Tradicionalmente, $\frac{\partial w}{\partial z} = 0 \left(\frac{\partial u}{\partial x} \right) \rightarrow \boxed{W = \frac{H}{L} U = \delta U}$

onde H é uma escala vertical na qual o regime de escoamento varia

	MESO - ESCALA	LARGA - ESCALA
U	$0,2 \text{ m s}^{-1}$	$0,04 \text{ m s}^{-1}$
L	10^5 m	10^6 m
Ro	$0,02 \sim 10^{-2}$	$0,0004 \sim 10^{-4}$
δ	10^{-2}	10^{-3}

$$\left. \begin{array}{l} H_{BT} = 3300 \text{ m (prof. média do oceano)} \quad \delta_{BT} = 0,033 \\ H_{BC} = 1000 \text{ m (base da termoclina)} \quad \delta_{BC} = 0,01 \end{array} \right\} \text{ MESO}$$

$$W_{MESO} = \delta_m U_{MESO} = 0,002 \text{ m s}^{-1}$$

$$W_{LARGA} = \delta_L U_{LARGA} = 0,00004 \text{ m s}^{-1}$$

Serão estas escalas de W adequadas para um escoamento 2D?

Voltemos as eq (2) e eq (3) e calculemos sua divergência

$$\frac{\partial}{\partial y} (2): \rho v + f \frac{\partial v}{\partial y} = \frac{1}{\rho} \frac{\partial p^2}{\partial x \partial y} + o \left(\frac{U^2}{L^2} \right)$$

$$\frac{\partial}{\partial x} (3): f \frac{\partial u}{\partial x} = -\frac{1}{\rho} \frac{\partial p^2}{\partial x \partial y} + o \left(\frac{U^2}{L^2} \right) +$$

$$f \left(\frac{\partial u}{\partial x} + \frac{\partial v}{\partial y} \right) + \beta \sigma = 0 \left(\frac{U^2}{L^2} \right)$$

eq do mov. = $-\frac{\partial w}{\partial z}$

$$\boxed{f \frac{\partial w}{\partial z} = \beta \sigma} + 0 \left(\frac{U^2}{L^2} \right)$$

$$\frac{f w}{H} = \beta U \Leftrightarrow w = \underbrace{\left(\frac{\beta L}{f} \right)}_{\hat{\beta} \equiv m^2 \text{ do plano } \beta} \delta U$$

	MESO	LARGA
$\hat{\beta} = \beta L / f$	0,02	0,2
$\epsilon = U / \beta L^2$	1	0,002

MESO $W = \hat{\beta} \delta U = R_0 (\delta U) = \delta^2 U \rightarrow 2 \text{ Ordens de grandeza menor do}$
 $= 10^{-4} \cdot 0,2 = 2 \times 10^{-5} \text{ ms}^{-1}$ que o W imposto pela eq. da continuidade

LARGA $W = 10^{-1} \cdot 10^{-3} \cdot 4 \times 10^{-2} = 4 \times 10^{-6} \text{ ms}^{-1}$

Explorando o ϵ :

$$\epsilon = \frac{\frac{Du}{Dt}}{\beta \eta \sigma} = \frac{\frac{U^2}{L}}{\beta L U} = \frac{U}{\beta L^2}$$

Vorticidade relativa $f = \frac{\partial v}{\partial x} - \frac{\partial u}{\partial y} = \frac{U}{L} \rightarrow \frac{f}{\beta \eta} = \frac{U}{\beta L^2} = \epsilon$

Conseqüências da pequenez da velocidade vertical (w):

$$\vec{\zeta} = \nabla \times \vec{\sigma} = \xi \vec{i} + \chi \vec{j} + f \vec{k} \quad \xi = \frac{\partial w}{\partial y} - \frac{\partial v}{\partial z}$$

$$\chi = \frac{\partial u}{\partial z} - \frac{\partial w}{\partial x}$$

$$f = \frac{\partial v}{\partial x} - \frac{\partial u}{\partial y}$$

A componente vertical da eq. da vorticidade absoluta

(3)

$$\underbrace{\frac{\partial f}{\partial t}}_{\text{var. local de } f} + \underbrace{(\vec{v} \cdot \nabla f)}_{\text{var. advectiva de } f} - \underbrace{\left(\xi \frac{\partial}{\partial x} + \chi \frac{\partial}{\partial y} + \underbrace{f \frac{\partial}{\partial z}}_{\text{inclinação do tubo de vórtice}} \right) w}_{\text{estiramento do tubo de vórtice}} - \underbrace{f \frac{\partial w}{\partial z}}_{\text{var. de advecção de } f} + \underbrace{\beta w}_{\beta w \text{ ou } \frac{U^2}{L^2}} = 0$$

$\frac{U^2}{L^2}$ $\frac{U^2}{L^2}$ $R_0 \frac{U^2}{L^2}$ $\beta w \text{ ou } \frac{U^2}{L^2}$

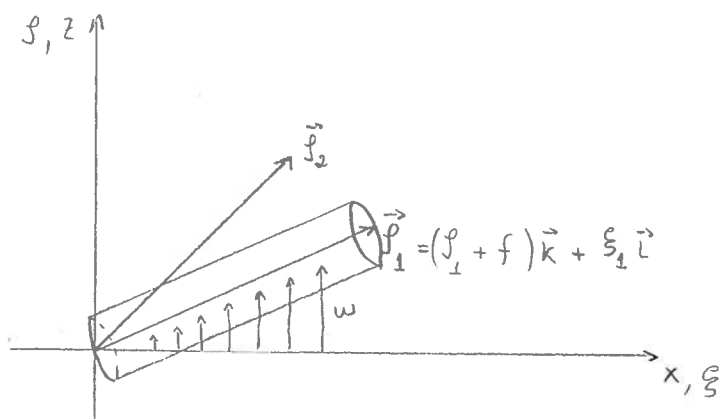
21/06/2006

o mecanismo de inclinação do tubo de vórtice é desprezível se comparado aos outros termos

→ o mecanismo do estiramento é dominado pela vorticidade planetária

MECANISMO DE INCLINAÇÃO

$$\frac{\partial f}{\partial t} = \left. \frac{\partial}{\partial x} \frac{\partial w}{\partial x} \right|_{x=0} > 0 \iff \frac{\partial f}{\partial t} > 0$$



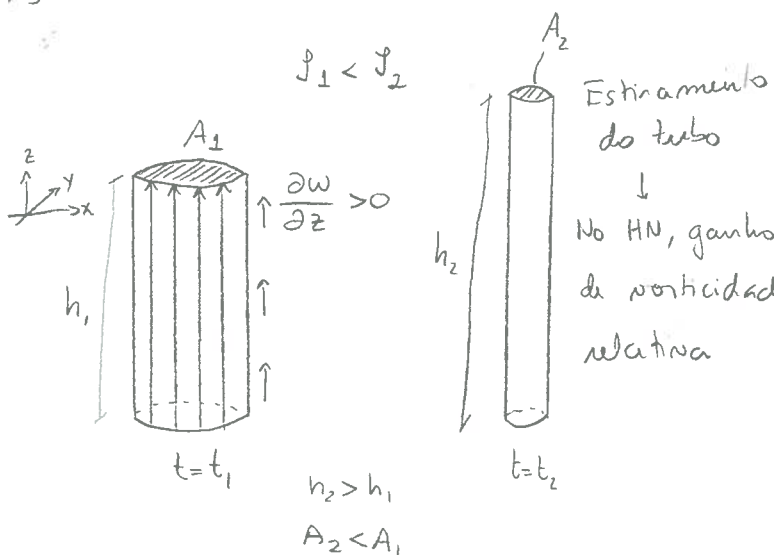
$$\vec{f}_1 = \vec{f}(t)$$

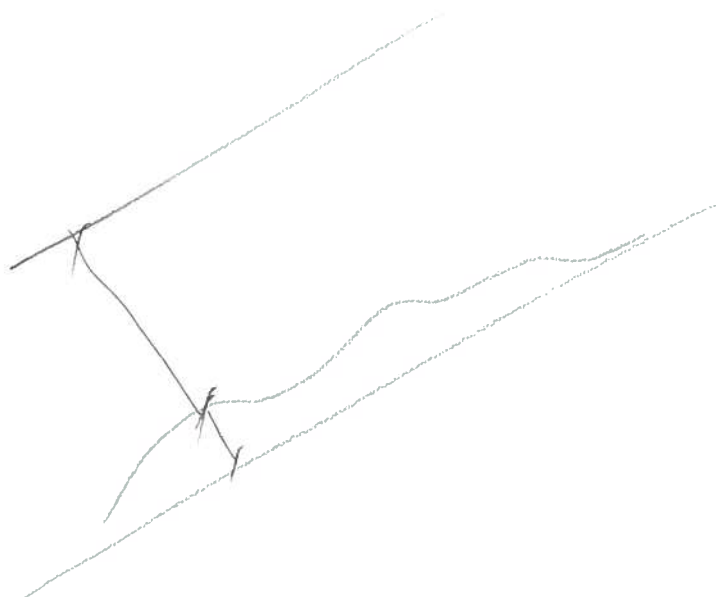
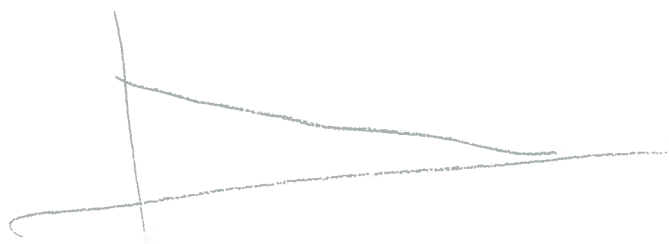
MECANISMO DE ESTIRAMENTO (H.N.)

$$\frac{\partial f}{\partial t} = (f + \hat{f}) \frac{\partial w}{\partial z} \iff \frac{\partial f}{\partial t} > 0$$

$$\approx f \frac{\partial w}{\partial z} \text{ pois } R_0 = \frac{f}{\hat{f}} \ll 1$$

$$\approx f_0 \frac{\partial w}{\partial z} > 0 \text{ pois } \hat{\beta} = \frac{\beta y}{f_0} \ll 1$$





→ o oceano também conserva massa e volume

(4)

$$\frac{\partial u}{\partial x} + \frac{\partial v}{\partial y} = - \frac{\partial w}{\partial z} \propto \text{altura do volume} \Leftrightarrow \frac{1}{\delta V} \frac{D\delta V}{Dt} = 0$$

↳ \propto a área do tubo de vórtice

Digressões: Repensando

A vorticidade potencial barotrópica

$$f_0 = 2\Omega \sin \theta_0$$

$$\frac{D\pi}{Dt} = 0; \quad \pi = \frac{\beta + f}{H} \quad \text{vorticidade absoluta} = \frac{\beta_0}{H} \propto A^{-1}$$

Momentum Angular: $L = I \cdot \Omega$
 ↓
 dos sólidos ↳ vel. angular
 momentum
 de inércia

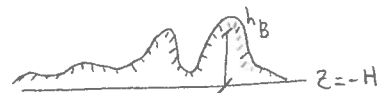
$$I = \sum_i p_i r_i^2 \propto \text{área}$$

QUASE GEOSTROFIA DO OCEANO BAROTRÓPICO

Representa um conjunto de 3 aproximações

- (i) aproximação geostrofica ($Ro \ll 1, \delta \ll 1$)
- (ii) aproximação do plano β ($\hat{\beta} \ll 1$)
- (iii) aproximação dos espessores $\frac{\delta h}{H} \ll 1 \rightarrow \frac{\eta}{H}, \frac{h_B}{H} \ll 1$

$$\delta = \frac{H}{L}$$



$$\frac{D\pi}{Dt} = 0; \quad \pi = \frac{\beta + f}{h} = \frac{\beta + f}{H + \eta - h_B} = \frac{\beta + f_0 + \beta y}{H + \eta - h_B} \quad \left\{ \begin{array}{l} \eta = \eta(x, y, t) \\ h_B = h_B(x, y) \end{array} \right.$$

Expansão em série do denominador:

$$(1+a)^{-1} = (1-a) + (1-a)^2 + \dots, \quad a \ll 1$$

$$(1-a)^{-1} = (1+a) - (1+a)^2 + \dots$$

denominador de π :

$$(H + \eta - h_B)^{-1} = \frac{1}{H} \left(1 + \frac{\eta}{H} - \frac{h_B}{H} \right)^{-1} \Rightarrow \pi \approx \frac{\beta + f_0 + \beta y}{H} \left(1 + \frac{\eta}{H} - \frac{h_B}{H} \right)$$

aproximação linear

$$\begin{matrix} o(R_0) & o(R_0) & & o(R_0) & o(R_0) \\ \downarrow & \downarrow & & \downarrow & \downarrow \end{matrix}$$

colocamos termos de $O(1)$: $\frac{f_0}{H} \rightarrow$ vorticidade potencial básica ⑤

colocamos termos de $O(R_0)$: $\frac{J}{H} + \frac{f_0}{H^2} \eta - \frac{f_0}{H^2} h_B + \frac{\beta y}{H}$

$$\pi \approx \frac{1}{H} \left(f_0 + J + \beta y + \frac{f_0}{H} \eta - \frac{f_0}{H} h_B \right)$$

$$\frac{D\pi}{Dt} = \frac{D}{Dt} \frac{1}{H} \left(f_0 + J + \beta y + \frac{f_0}{H} \eta - \frac{f_0}{H} h_B \right) = 0$$

↓
não pode ser zero

⇓

$$\frac{D}{Dt} \left(f_0 + J + \beta y + \frac{f_0}{H} \eta - \frac{f_0}{H} h_B \right) = 0$$

$q \equiv$ vort. potencial Q.G. barotrópica

LEMBRANDO: $\frac{D}{Dt} = \frac{\partial}{\partial t} + u \frac{\partial}{\partial x} + v \frac{\partial}{\partial y}$

○

$$\boxed{\frac{Dq}{Dt} = \frac{\partial q}{\partial t} + u \frac{\partial q}{\partial x} + v \frac{\partial q}{\partial y} = 0}$$

→ aproximação geostrófica $u = -\frac{1}{\rho f} \frac{\partial p}{\partial y}$, $v = \frac{1}{\rho f} \frac{\partial p}{\partial x}$

No caso do fluxo homogêneo ($\rho = \text{cte}$): $p = \rho g \eta$

$$u = \frac{g}{f} \frac{\partial \eta}{\partial y}; \quad v = \frac{g}{f} \frac{\partial \eta}{\partial x}$$

$$\frac{\partial u}{\partial x} + \frac{\partial v}{\partial y} = 0 \quad (\text{div. nula}) \quad \forall$$

$$\psi = \frac{g}{f_0} \eta$$

fs de corrente geostrófica barotrópica

$$J = \frac{\partial v}{\partial x} - \frac{\partial u}{\partial y} = \frac{g}{f_0} \left(\frac{\partial^2}{\partial x^2} \eta + \frac{\partial^2}{\partial y^2} \eta \right) = \nabla^2 \left(\frac{g}{f_0} \eta \right) = \nabla^2 \psi$$

$$\frac{D}{Dt} \left(\frac{g}{f_0} \nabla^2 \eta + \beta y + \frac{f_0}{H} \eta - \frac{f_0}{H} h_B \right) = 0$$

$$\frac{D}{Dt} \left(\nabla^2 \psi + \beta y + \frac{f_0^2}{gH} \psi - \frac{f_0}{H} h_B \right) = 0$$

$$\frac{D}{Dt} \left(\nabla^2 \psi + \frac{1}{R_{de}^2} \psi + \beta y - \frac{f_0}{H} h_B \right) = 0$$

$R_{de} \equiv$ Raio de deflexão de Rossby

$$q = q(\psi)$$

$S \equiv$ estiramento

(6)

Razões entre J e S , assumindo $h_B = 0$,

$$\frac{\frac{\nabla^2 \psi}{1/\psi}}{Rde^2} = 0 \quad \frac{\left(\frac{L^2}{L^2}\right)}{\frac{L^2}{Rde^2}} = \frac{Rde^2}{L^2}$$

• no caso de $L > Rde$, a vorticidade relativa π torna desprezível se comparada a vorticidade de estiramento

$L < Rde$, vice-versa

$$\frac{D}{Dt} \left(\nabla^2 \psi - \frac{1}{Rde^2} \psi + \beta_T - \left(\frac{f_0}{H} h_B \right) \right) = 0 \quad \beta_T \equiv \text{beta topográfico}$$

$\underbrace{\left(\frac{f_0}{H} h_B \right)}_{\text{Lo efeitos dinâmicos similares}} \rightarrow \left[\frac{f_0}{H} \right] \eta$

\rightarrow H.N., $h_B(y) = \eta(y)$



28/06/2006

QUASE-GEOSTROFIA DO OCEANO ESTRATIFICADO

Flierl (78)

parte inicial

- plano β , oceano de Boussinesq

\rightarrow Derivação da equação da VPOG para o oceano baroclinico

• Inicialmente, o sistema QG pode ser escrito em 3 formas:

1ª) Sistema de 3 eq. em termos da função de corrente ψ , da anomalia da profundidade de uma superfície isopicnica η , e da velocidade vertical w .

2ª) Eliminar η

3ª) Eliminar $w \rightarrow$ 1 eq. em termos de ψ

Vale definir que as velocidades geostóficas são dadas por (7)

$$u = -\frac{\partial \Psi}{\partial y} = -\frac{\partial}{\partial y} \left(\frac{p'}{\rho_0 f_0} \right)$$

$$v = \frac{\partial \Psi}{\partial x} = \frac{\partial}{\partial x} \left(\frac{p'}{\rho_0 f_0} \right)$$

Da eq. hidrostática: $p' = \frac{1}{g} \frac{\partial p'}{\partial z} = -\frac{\rho_0 f_0}{g} \frac{\partial \Psi}{\partial z}$

- As 3 eq. são:
- 1) Eq. da vorticidade absoluta
 - 2) Eq. da definição da isopical
 - 3) Eq. da conservação da densidade

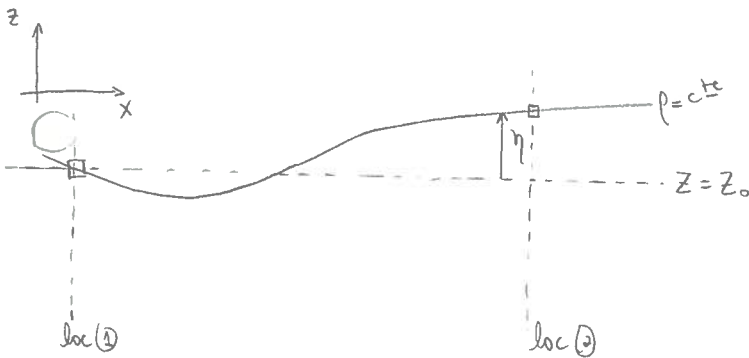
Jacobiano

$$J(A, B) = \frac{\partial A}{\partial x} \frac{\partial B}{\partial y} - \frac{\partial A}{\partial y} \frac{\partial B}{\partial x}$$

Eq. da VORTICIDADE ABSOLUTA

$$\underbrace{\frac{\partial}{\partial t} \nabla^2 \Psi}_{\text{var. local de vort. relativa}} + \underbrace{J(\Psi, \nabla^2 \Psi)}_{\text{advecção de vort. relativa}} + \underbrace{\beta \frac{\partial \Psi}{\partial x}}_{\text{advecção de vort. planetária}} - \underbrace{f_0 \frac{\partial w}{\partial z}}_{\text{estiramento}} = 0 \quad (1)$$

Eq. da DEFINIÇÃO DA ISOPICAL



$$\rho(x, y, z, t) = \rho_0 + \bar{\rho}(z) + \rho'(x, y, z, t) \quad (2)$$

$$\rho_1 = \rho_0 + \bar{\rho}(z_0) \quad (3)$$

$$\rho_2 = \rho_0 + \bar{\rho}(z_0 + \eta) + \rho'(x, y, z_0 + \eta, t) \quad (4)$$

Pela definição da isopical: $\rho_1 = \rho_2 \Leftrightarrow (3) = (4)$

$$\rho'(x, y, z_0 + \eta, t) = \bar{\rho}(z_0) - \bar{\rho}(z_0 + \eta) \quad (5)$$

Se assumirmos que $\frac{\eta}{z_0} = O(R_0)$, podemos expandir os termos envolvendo η em séries de Taylor e considerar somente os termos até $O(R_0)$

$$\bar{\rho}(z_0 + \eta) = \bar{\rho}(z_0) + \left. \frac{\partial \bar{\rho}}{\partial z} \right|_{z_0} \eta + O(R_0^2) \quad (6)$$

Se usarmos (6) em (5): $p' = -\eta \frac{\partial \bar{p}}{\partial z}$

(8)

$$\frac{p_0 f_0}{g} \frac{\partial \Psi}{\partial z} = \eta \frac{\partial \bar{p}}{\partial z} \quad \therefore \quad \frac{\partial \Psi}{\partial z} = \underbrace{\eta \left(\frac{g}{f_0} \frac{\partial \bar{p}}{\partial z} \right)}_{-N^2(z)} \Rightarrow \boxed{\frac{\partial \Psi}{\partial z} = -\frac{N^2}{f_0} \eta} \quad (7)$$

Eq. da CONSERVAÇÃO de DENSIDADE

$$\frac{D\rho}{Dt} = 0 \Leftrightarrow \rho \text{ segue superfícies materiais} \quad w = \frac{D\eta}{Dt}$$

$$\boxed{w = \frac{\partial \eta}{\partial t} + J(\Psi, \eta)} \quad (8)$$

A 1ª forma do sistema QG é composta por (1), (7) e (8)

A 2ª forma é eliminando η das equações através da manipulação de (7) e (8) $\Rightarrow \frac{D}{Dt}(7)$

$$\frac{\partial}{\partial t} \left(\frac{\partial \Psi}{\partial z} \right) + J \left(\Psi, \frac{\partial \Psi}{\partial z} \right) + w \frac{N^2}{f_0} = 0 \quad (9)$$

A 3ª forma é combinando (9) e (1)

$$(9) \Rightarrow w = -\frac{f_0}{N^2} \frac{D}{Dt} \left(\frac{\partial \Psi}{\partial z} \right) = -\frac{D}{Dt} \left(\frac{f_0}{N^2} \frac{\partial \Psi}{\partial z} \right)$$

$$\frac{\partial w}{\partial z} = -\frac{D}{Dt} \frac{\partial f_0}{\partial z} \frac{\partial \Psi}{\partial z} \Rightarrow \text{jogando expressões de } \frac{\partial w}{\partial z} \text{ em (1)}$$

$$\frac{D}{Dt} \nabla^2 \Psi + \frac{D}{Dt} \rho \gamma + \frac{D}{Dt} \left[\frac{\partial}{\partial z} \left(\frac{f_0^2}{N^2} \frac{\partial \Psi}{\partial z} \right) \right] = 0$$

$$\frac{Dq}{Dt} = 0 ; \quad q = \nabla^2 \Psi + \rho \gamma + \frac{\partial}{\partial z} \left(\frac{f_0^2}{N^2} \frac{\partial \Psi}{\partial z} \right) \Rightarrow \text{vorticidade potencial no oceano baroclinico} \quad (10)$$

Condições de contorno p/ Eq (10) \rightarrow nos limites das camadas de Ekman

$$\rightarrow w = w_E \text{ em } z=0 \Rightarrow w = \frac{\vec{k}}{f_0 f_0} \nabla \times \vec{c}$$

$$\rightarrow w = \underbrace{J(\Psi, h_B)}_{\text{efeito topográfico}} + \underbrace{\sqrt{\frac{A\nu}{2f_0}} \nabla^2 \Psi}_{\text{Bombeamento de Ekman de fundo}} \text{ em } z=-H$$

→ tentar encontrar soluções para a equação (10), assumindo
tampas rígidas na superfície e no fundo ($w=0$ em $z=0, z=-H$)
e forma linear $\left(\frac{J(\psi, q)}{\frac{\partial q}{\partial t}} \ll 1 \right)$.

$$(12) \quad w = \frac{\partial}{\partial t} \frac{\partial \psi}{\partial z} = 0 \text{ em } z=0, -H$$

$$(10) \rightarrow \frac{\partial}{\partial t} \left[\nabla^2 \psi + \frac{\partial}{\partial z} \left(\frac{f_0^2}{N^2} \frac{\partial \psi}{\partial z} \right) \right] + \beta \frac{\partial \psi}{\partial x} = 0 \quad (11)$$

obs $\lambda_i = cte$, o

que caracteriza um
problema de auto valores

λ_i são os auto-valores

Assumindo solução por separação de variáveis

$$\psi(x, y, z, t) = \sum_i \Psi_i(x, y, t) F_i(z) \quad (13)$$

Com (13) em (11)

$$F_i \left(\frac{\partial}{\partial t} \nabla^2 \Psi_i + \beta \frac{\partial \Psi_i}{\partial x} \right) = - \frac{\partial \Psi_i}{\partial t} \left(\frac{\partial}{\partial z} \frac{f_0^2}{N^2} \frac{\partial F_i}{\partial z} \right)$$

$$- \frac{1}{\frac{\partial \Psi_i}{\partial t}} \left(\frac{\partial}{\partial t} \nabla^2 \Psi_i + \beta \frac{\partial \Psi_i}{\partial x} \right) = \underbrace{\frac{1}{F_i} \left(\frac{\partial}{\partial z} \frac{f_0^2}{N^2} \frac{\partial F_i}{\partial z} \right)}_{\text{eq. da estrutura vertical}} = - \lambda_i \quad \text{eq. da evolução da função amplitude}$$

Eq. de Estrutura Vertical

$$\begin{cases} \frac{\partial}{\partial z} \frac{f_0^2}{N^2} \frac{\partial F_i}{\partial z} + \lambda_i F_i = 0 \\ \frac{\partial F_i}{\partial z} = 0 \text{ em } z=0, -H \end{cases}$$

$$Rd_0^2 = \frac{gH}{f_0^2}$$

$$Rd_i^2 = \frac{g h_{ei}}{f_0^2} \quad i=1, \infty$$

Por definição: $\lambda_i = \frac{1}{Rd_i^2} = \frac{f_0^2}{g h_{ei}}$

Os autovalores $F_i(z)$ formam um conjunto ortogonal e ortonormal:

$$\frac{1}{H} \int_{-H}^0 F_i(z) F_j(z) dz = \delta_{ij} \quad \text{obs } \delta \begin{cases} i=j, 1 \\ i \neq j, 0 \end{cases} \Rightarrow \text{delta de Kronecker}$$

→ condições de ortogonalidade

As amplitudes Ψ_i são obtidas pela projeção do modo F_i no perfil de $\Psi(z)$.

$$\bar{\Psi}_i(x, y, t) = \frac{\frac{1}{H} \int_{-H}^0 \Psi F_i dz}{\frac{1}{H} \int_{-H}^0 F_i^2 dz}$$

02/08/06

ANÁLISE OBJETIVA VETORIAL

Decomposição de Cauchy - Riemann

$\vec{V} = \vec{V}_{\text{irrot}} + \vec{V}_{\text{nd}}$ ↗ \vec{V} tem vorticidade

$\vec{V}_{\text{irrot}} \equiv$ velocidade irrotacional, divergente

$\vec{V}_{\text{irrot}} = \nabla \chi$ (potencial de velocidade)

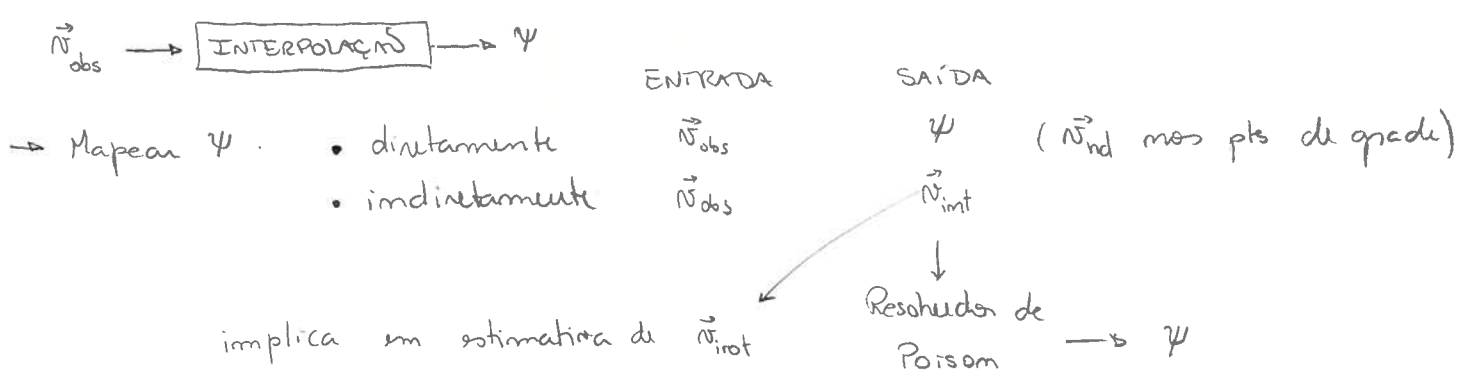
$\vec{V}_{\text{nd}} \equiv$ velocidade rotacional, não-divergente

$\vec{V}_{\text{nd}} = \hat{k} \times \nabla \psi$

Problemas com a Interpolação

- 1) Simplicidade
- 2) Malha Esparsa

Se o objetivo é meso-escala ou grande escala, $\Rightarrow \vec{V} \approx \vec{V}_{\text{nd}}$



MAPEAMENTO DIRETO [Bretherton et al, 1976]

- mapeia diretamente ψ à partir de \vec{N}_{obs}
- é numericamente análoga isotropia

Princípio: se existe uma relação funcional entre \vec{N}_{rd} e ψ , existirá uma relação funcional entre suas funções de correlação

$R \rightarrow$ funções de correlação longitudinal das velocidades

$S \rightarrow$ " " " transversa das velocidades

$$R(r) = -\frac{1}{r} \frac{dF}{dr} ; \quad S(r) = -\frac{d^2F}{dr^2} \quad \text{onde } r: \text{distância radial entre os pontos}$$

$F \rightarrow$ funções de correlação de ψ : $F = E[\psi_r, \psi_s]$

$$E[u_r, u_s] = a^2 [R-S] + S$$

$a = \cos$ do ângulo entre o vetor distância r e o eixo x

$$E[v_s, v_r] = b^2 [R-S] + S$$

$b = \cos$ do ângulo entre o vetor distância r e o eixo y

$$E[u_r, v_s] = E[u_s, v_r] = ab [R-S]$$

A estimativa de ψ é dada por:

$$\phi_s = \begin{bmatrix} u_s \\ \vdots \\ v_s \end{bmatrix}$$

$$\hat{\psi}_x = P_{xr} (A_{rs}^{-1} \phi_s)$$

\downarrow
correlação cruzada entre ψ nos pontos de grade e as velocidades nos pontos de observação

$$P_{xr} = -b \frac{dF}{dr} \quad \text{para } r = 1, \dots, N$$

$$= a \frac{dF}{dr} \quad \text{para } r = N+1, \dots, 2N$$

Para satisfazer tal condição, constrói-se a matriz de autocovariância no lag zero,

$$C_{xy} = \frac{1}{NM} \sum_{z=1}^M (\theta_{xz} - \bar{\theta}_x)(\theta_{yz} - \bar{\theta}_y),$$

onde $\bar{\theta}_x$ é a média vertical na localidade x e,

$\bar{\theta}_y$ é a média vertical na localidade y .

Lembrando que x e y não são coordenadas cartesianas, são o índice de localidade dos estações

Os elementos da diagonal:

$$C_{xx} = \frac{1}{NM} \sum_z (\theta_{xz} - \bar{\theta}_x)^2 \quad \left(\text{que é a } \frac{\text{variância}}{N} \right)$$

O elemento C_{xx} representa a variância (vertical) de θ na localidade (estação) x , dividida por N

$$C_{xx} = \frac{1}{N} \sigma_{\theta_{xz}}^2$$

Em álgebra linear, a soma dos elementos da matriz C , é definido como "traço de C "

$$\text{Tr}(C) = \sum_x A_{xx} = \frac{1}{MN} \sum_{x=1}^N \sum_{z=1}^M (\theta_{xz} - \bar{\theta}_x)^2$$

Logo, $\text{Tr}(C)$ representa a variância total dos seus dados. Como C é uma matriz quadrada, pode-se resolver o problema de autovalores, que é o processo de "diagonalização" da matriz

$$C \mathbf{F}_i = \lambda_i \mathbf{F}_i$$

Combinando a definição de autovalor com a de $\text{Tr}(C)$,

CONTEXTUALIZAÇÕES

$$q = \underbrace{\nabla^2 \psi}_{v. \text{ potencial}} + \underbrace{\beta y}_{v. \text{ relativa}} + \underbrace{\frac{\partial f_0^2}{\partial z} \frac{\partial \psi}{N^2}}_{v. \text{ planetária} \rightarrow \text{vorticidade de estiramento}}$$

$$\frac{\partial q}{\partial x} = \nabla^2 \psi + \frac{\partial}{\partial z} \frac{f_0^2}{N^2} \frac{\partial \psi}{\partial z}$$

lembrando que

$$\left\{ \begin{array}{l} v = \frac{\partial \psi}{\partial x} \\ u = -\frac{\partial \psi}{\partial y} \end{array} \right.$$

Proof

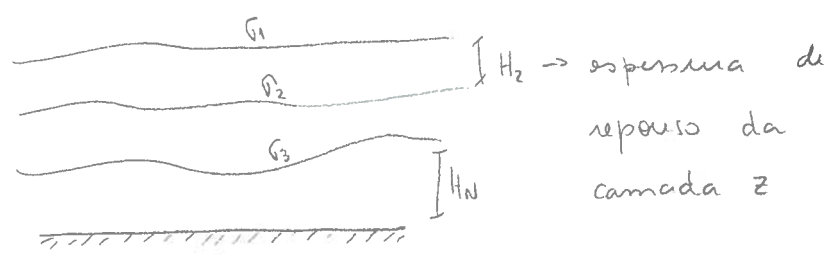
$$q = \Pi \psi \Leftrightarrow \psi = \Pi^{-1} q, \text{ onde } \Pi = \nabla^2 + \frac{\partial}{\partial z} \frac{f_0^2}{N^2} \frac{\partial}{\partial z} \text{ (operador diferencial complicado)}$$

rel. de inversibilidade

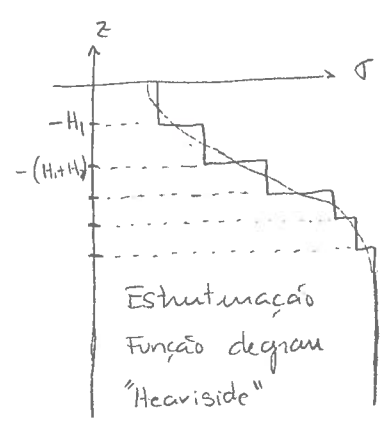
MODELOS DE CAMADAS
E
CALIBRAÇÃO DINÂMICA

IDEIA BÁSICA: Aproximar a estrutura continuamente estratificada por uma série de camadas imiscíveis e de densidade constante.

tampa rígida ($\eta=0$)



$H_2 \rightarrow$ espessura de repouso da camada z



Estratificação
Função degrau
"Heaviside"

A Frequência de Estratificação se torna uma soma de funções "Delta de Dirac"

$$N^2 = \epsilon_i g \delta(z - H_i)$$

$$\epsilon_i = \frac{\rho_{i+1} - \rho_i}{\rho_0}$$

\hookrightarrow salto de densidade normalizado

$$H(z) = \begin{cases} 1, & z < H_1 \\ 0, & z > H_1 \end{cases}$$

$$\frac{dH}{dz} = \delta(z - H_1)$$

A condição de Ortogonalidade:

$$\frac{1}{H} \sum_N H_i F_j^{(i)} F_k^{(i)} = \delta_{jk}$$

Determinação das Amplitudes:

$$\Psi_j = \frac{1}{H} \sum_N H_i F_j^{(i)} \psi_i \Rightarrow \text{projecção da camada no modo}$$

Obs:

- 1) O número de modos resolvidos é igual ao N° de camadas
- 2) Os modos discutidos dependem da escolha de E_i e H_i

30/08

INSTABILIDADE BAROCLÍNICA

(Modelo do Cayo)
planof

Orlanski (1969) → caminhos de conversão de BC

Gill (1974) → grande quantidade de energia potencial disponível nos oceanos

princípio inicial: conservação de V.P.

$$\frac{Dq}{Dt} = 0 \quad \therefore \quad \frac{\partial q}{\partial t} + J(\psi, q) = 0$$

def de f e de corrente: $\vec{\omega} = \hat{k} \times \nabla \psi$

$$q = \bar{q}(x, y, z) + q'(x, y, z, t)$$

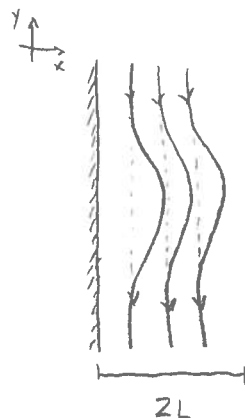
$$\psi = \bar{\psi}(x, y, z) + \psi'(x, y, z, t)$$

↑
parâmetro

$$u = u'(x, y, z, t)$$

$$v = \bar{v}(x, y) + v'(x, y, z, t)$$

partes básicas
perturbações



Não há velocidade básica em u , apenas perturbações

$$2) \quad w = \frac{dh}{dt} = 0 \quad \therefore w = \frac{\partial h}{\partial t} + u \frac{\partial h}{\partial x} + v \frac{\partial h}{\partial y}$$

(15)

aproximações p/ h : h varia em x mais em t : $h = h(x)$

$$w = u' \frac{\partial h}{\partial x} = - \frac{\partial \psi}{\partial y} \frac{\partial h}{\partial x}$$

$$\left(\frac{\partial}{\partial t} + \bar{v} \frac{\partial}{\partial y} \right) \frac{\partial \psi'}{\partial z} - \frac{\partial \bar{v}}{\partial z} \frac{\partial \psi'}{\partial z} = \overbrace{\frac{\partial \psi}{\partial y} \frac{\partial h}{\partial x} \frac{N^2}{f}}^{h_x^*} \quad \therefore \left(\frac{\partial}{\partial t} + \bar{v} \frac{\partial}{\partial y} \right) \frac{\partial \psi'}{\partial z} = \frac{\partial \psi'}{\partial y} \left(h_x^* + \frac{\partial \bar{v}}{\partial z} \right); \quad z=0$$

(c.c.2)

$$3) \text{ LATERAL: } \frac{\partial \psi'}{\partial y} = 0, \quad x=0, \quad x=2L$$

RESOLVENDO O PROBLEMA \rightarrow IMPONDO UMA PERTURBAÇÃO:

\rightarrow onda que se propague nas direções do canal, nos domínios do canal

$$\psi' = \psi'(x, y, z, t) = \Psi(z) \cos\left(\frac{\pi x}{2L}\right) e^{ik(x-ct)}$$

\hookrightarrow substituir na perturbação no sistema:

$$\left(\frac{\partial}{\partial t} + \bar{v} \frac{\partial}{\partial y} \right) \left[-\Psi \left(\frac{\pi}{2L} \right)^2 - k^2 \Psi + \frac{\partial}{\partial z} \frac{f^2}{N^2} \frac{\partial \Psi}{\partial z} \right] + ik \Psi \frac{\partial \bar{v}}{\partial x} = 0$$

$$\left[\left(\frac{\pi}{2L} \right)^2 (c - \bar{v}) + k^2 (c - \bar{v}) + (c - \bar{v}) \frac{\partial}{\partial t} \frac{f^2}{N^2} \frac{\partial}{\partial z} \right] \Psi - \Psi \frac{\partial \bar{v}}{\partial x} = 0 \quad \div (c - \bar{v})$$

$$\frac{\partial}{\partial z} \left(\frac{f^2}{N^2} \frac{\partial \Psi}{\partial z} \right) - \left[k^2 + \frac{\pi^2}{4L^2} + \frac{1}{(\bar{v} - c)} \frac{\partial \bar{v}}{\partial x} \right] \Psi = 0$$

Resolvido no programa matlab

Escrever condições de contorno para Ψ

$$(\bar{v} - c) \frac{\partial \Psi}{\partial z} = \Psi \frac{\partial \bar{v}}{\partial z}; \quad z=H$$

$$(\bar{v} - c) \frac{\partial \Psi}{\partial z} = \left(1 - \frac{\partial h^*}{\partial x} \right) \Psi \frac{\partial \bar{v}}{\partial z}; \quad z=0$$

problema de autovalor;
autovalor \rightarrow velocidade de fase c ;

\Rightarrow Perfz de velocidade \bar{v} e N^2 idealizados

\Rightarrow Objetivo: saber como as ondas instáveis se propagam

$$C_{Im} \left\{ f^2 \left[\left(\frac{\frac{\partial \bar{\sigma}}{\partial z} \Psi^2}{N^2 |\bar{\sigma} - c|^2} \right)_4 - \left(\frac{\frac{\partial \bar{\sigma}}{\partial z} (1 - h_x^*) \Psi^2}{N^2 |\bar{\sigma} - c|^2} \right)_0 \right] - \int_0^H \frac{\frac{\partial \bar{\sigma}}{\partial x} \Psi^2}{|\bar{\sigma} - c|^2} \right\} = 0$$

para haver instabilidade $\Rightarrow C_{Im} \neq 0 \Rightarrow$ o resto tem que zerar...

1) longe dos contornos

$\frac{\partial \bar{\sigma}}{\partial x}$ troca de sinal entre a superfície e o fundo

2) longe do fundo

$\propto \frac{\partial \bar{\sigma}}{\partial x}$ em alguma profundidade tiver o mesmo sinal que $\frac{\partial \bar{\sigma}}{\partial z}$

na superfície

3) longe da superfície

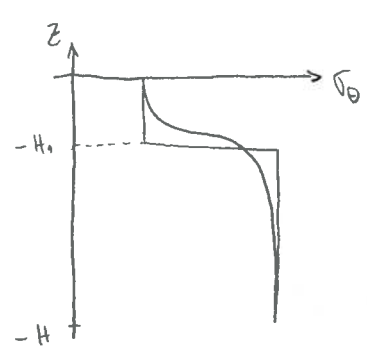
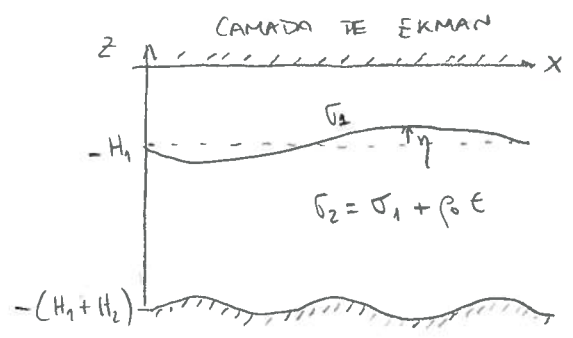
Se em alguma profundidade $\frac{\partial \bar{\sigma}}{\partial x}$ tiver sinal oposto a $(1 - \frac{\partial h^*}{\partial x}) \frac{\partial \bar{\sigma}}{\partial z}$ junto ao fundo

1, 2, 3 \Rightarrow condições necessárias para ocorrer instabilidade, mas não são suficientes.

6/9/2006

O MODELO DE PHILIPS

- O modelo de duas camadas foi criado por Philips (1951) com o objetivo de simplificar a dinâmica OG



$$\lambda_j^2 - \left[\frac{H_1}{H_2} \left(\frac{f_0^2}{Eg H_1} \right) - \frac{f_0^2}{Eg H_1} \right] \lambda_j = 0$$

$$\Rightarrow \boxed{\lambda_0 = 0}$$

$$Rd_0^2 = \infty$$

$$\boxed{\lambda_j = Rd_j^{-2}}$$

lembrete

$$\lambda_1 = \frac{f_0^2}{Eg H_1} \left(1 + \frac{H_1}{H_2} \right) = \frac{f_0^2 (H_1 + H_2)}{Eg H_1 H_2}$$

Raio de deformação barotrópico

H_H^{-1} Média Harmônica

$$\boxed{\lambda_1 = \frac{f_0^2}{Eg H_H}} \rightarrow Rd_1^2 = \frac{Eg H_H}{f_0^2} \rightarrow \text{Raio de def. baroclínico}$$

Achando os auto-vetores $(F_0^1, F_0^2, F_1^1, F_1^2)$

para $\lambda_0 = 0$

$$\begin{bmatrix} -\frac{f_0^2}{Eg H_1} & \frac{f_0^2}{Eg H_1} \\ \frac{f_0^2}{Eg H_2} & -\frac{f_0^2}{Eg H_2} \end{bmatrix} \begin{bmatrix} F_0^1 \\ F_0^2 \end{bmatrix} = \begin{bmatrix} 0 \\ 0 \end{bmatrix}$$

$$F_0^1 = F_0^2$$

$$F_0^1 = F_0^2$$

razão iguais

Condição de ortogonalidade: $\frac{1}{H} [H_1 (F_0^1)^2 + H_2 (F_0^2)^2] = 1$

$$\frac{1}{H} (H_1 + H_2) (F_0^1)^2 = 1 \Leftrightarrow \boxed{\begin{matrix} F_0^1 = 1 \\ F_0^2 = 1 \end{matrix}}$$

Para $\lambda_1 = \frac{f_0 (H_1 + H_2)}{Eg H_1 H_2}$

$$\begin{bmatrix} \frac{f_0}{Eg H_2} & \frac{f_0^2}{Eg H_1} \\ \frac{f_0^2}{Eg H_2} & \frac{f_0^2}{Eg H_1} \end{bmatrix} \begin{bmatrix} F_1^1 \\ F_1^2 \end{bmatrix} = \begin{bmatrix} 0 \\ 0 \end{bmatrix}$$

$$F_1^2 = -\frac{H_1}{H_2} F_1^1$$

$$\frac{1}{H} \left[H_1 (F_1^1)^2 + H_2 \left(-\frac{H_1}{H_2} F_1^1 \right)^2 \right] = 1$$

$$F_1^1 = \sqrt{\frac{H_2}{H_1}} = \sqrt{\frac{1}{\delta}}$$

$$\boxed{\begin{matrix} F_1^1 = \sqrt{\frac{1}{\delta}} \\ F_1^2 = -\sqrt{\delta} \end{matrix}}$$

Condição de ortogonalidade

MÉTODOS DE ANÁLISE DE DADOS QUASE-SINÓTICOS EM OCEANOGRAFIA FÍSICA

Os campos de velocidade em oceanografia podem ser divididos em 2 partes

$$\vec{v} = \underbrace{\vec{k} \times \nabla \psi}_{\substack{\text{parte rotacional} \\ \text{não divergente}}} + \underbrace{\nabla \phi}_{\substack{\text{parte irrotacional divergente}}}$$

$\psi \equiv$ função de corrente
 $\phi \equiv$ potencial de velocidade

PEQUENA ESCALA $\Rightarrow \vec{v} \approx \nabla \phi$

MESO E LARGA ESCALA $\Rightarrow \vec{v} \approx \vec{k} \times \nabla \psi$

NESTE CURSO $\Rightarrow \vec{v} \approx \vec{k} \times \nabla \psi$

CONSIDERAÇÕES QUASE-GEOSTRÓFICAS

Equação do movimento na aproximação de Boussinesq: e sem atrito

$$\frac{d\vec{v}}{dt} + \vec{k} f \times \vec{v} = - \frac{\nabla p}{\rho_0} + \vec{g} \quad (1) \quad \vec{f} = \cancel{\vec{f}} + f \vec{k}$$

Aproximação Tradicional $\Rightarrow \vec{f}$ é dinamicamente irrelevante:

comp x $\Rightarrow \tilde{f}_w \ll f v$

comp z $\Rightarrow \tilde{f}_u \ll g$

O N^2 de Rossby é simplesmente a razão entre os

2

dos primeiros termos de (1):

$$Ro = \frac{\left| \frac{d\vec{n}}{dt} \right|}{\left| \vec{k} \times \vec{n} \right|} \quad (2)$$

Se usarmos notação usual de análise de escalas e escalarmos advectionalmente o tempo, escrevemos (2):

$$Ro = \frac{U}{fL} \quad (3)$$

→ Usando a aproximação do plano β em latitudes médias

$$f = f_0 + \beta y = 2\Omega \sin \theta_0 + \frac{2\Omega \cos \theta_0}{a} y$$

→ um bom diagnóstico para a aplicação da aproximação do plano β é o N^2 Planútico

$$\hat{\beta} = O\left(\frac{\beta y}{f_0}\right) \rightarrow \hat{\beta} \ll 1$$

Considerando $Ro \ll 1$,

$$-f v = -\frac{1}{\rho_0} \frac{\partial p}{\partial x} + O\left(\frac{U^2}{L}\right) \quad (4)$$

$$f u = -\frac{1}{\rho_0} \frac{\partial p}{\partial y} + O\left(\frac{U^2}{L}\right)$$

(4) $\div f$:

Correções agustólicas de $O(Ro)$

$$\boxed{\begin{aligned} v &= + \frac{1}{\beta f} \frac{\partial p}{\partial x} + O(Ro \cdot U) \\ u &= - \frac{1}{\beta f} \frac{\partial p}{\partial y} + O(Ro \cdot U) \end{aligned}} \quad (4a)$$

Balanco Geostrófico \Rightarrow balanço de $O(1)$

O Tamanho da Velocidade Vertical

3

Tradicionalmente, $\frac{\partial u}{\partial x} + \frac{\partial v}{\partial y} + \frac{\partial w}{\partial z} = 0 \Rightarrow 0 \left(\frac{\partial u}{\partial x}, \frac{\partial v}{\partial y} \right) = 0 \left(\frac{\partial w}{\partial z} \right)$

$$\frac{U}{L} = \frac{W}{H} \Leftrightarrow W = \frac{H}{L} \cdot U$$

$$W = \delta \cdot U$$

	MESO	LARGA
U	0,2 m/s	0,04 m/s
L	10^5 m	10^6 m
R_0	$0,02 \sim 10^{-2}$	$0,0004 \sim 10^{-4}$
δ	10^{-2}	10^{-3}

$$\delta = \frac{H}{L} \rightarrow \begin{cases} H_{BT} \Rightarrow \text{espessura da coluna d'água} = 3300 \text{ m} \sim 10^3 \text{ m} \\ H_{BC} \Rightarrow \text{espessura das camadas} \Rightarrow \text{base da termoclina} \sim 10^3 \text{ m} \end{cases}$$

$\delta \ll 1 \Rightarrow$ aproximação de águas rasas \Rightarrow oceno hidrostático

Com isso, podemos estimar:

$$W_{\text{meso}} = \delta_{\text{meso}} \cdot U_{\text{meso}} = 0,002 \text{ m/s} \sim R_0 \cdot U_{\text{meso}}$$

$$W_{\text{meso}} = R_0 \cdot U_{\text{meso}}$$

$$W_{\text{larga}} = \delta_{\text{larga}} \cdot U_{\text{larga}} = 0,0000004 \text{ m/s} \sim 10^{-8}$$

E para o escoamento Quasi-geostrofico? Estimar W pela eq da continuidade é adequado?

$$\frac{\partial}{\partial y} (4.1) \rightarrow \beta v + f \frac{\partial v}{\partial y} = \frac{1}{\rho_0} \frac{\partial^2 p}{\partial x \partial y} + o \left(\frac{U^2}{L^2} \right)$$

$$\frac{\partial}{\partial x} (4.2) \rightarrow f \frac{\partial u}{\partial x} = - \frac{1}{\rho_0} \frac{\partial^2 p}{\partial x \partial y} + o \left(\frac{U^2}{L^2} \right) +$$

$$\beta v = - f \left(\frac{\partial u}{\partial x} + \frac{\partial v}{\partial y} \right) + o \left(\frac{U^2}{L^2} \right)$$

$$(6) \quad f \frac{\partial w}{\partial z} = \beta N + O\left(\frac{U^2}{L^2}\right)$$

Balauço dominante

$$W = \frac{\beta H U}{f_0} \Rightarrow \times \frac{L}{L} \rightarrow W = \frac{\beta L}{f_0} \frac{H}{L} \cdot U \quad \therefore \quad W = \hat{\beta} \delta U$$

\downarrow
 escala para f

\Rightarrow A div. do mov. geostrófico no plano β é: $\frac{\beta N}{f}$

4

$$W_{\text{meso}} = \hat{\beta}_{\text{meso}} \delta_{\text{meso}} U_{\text{meso}}$$

	Meso	longa
$\hat{\beta}$	0,02	0,2

$$W_{\text{meso}} = R_0^2 U_{\text{meso}}$$

$$f_0 = 10^{-4} \text{ s}^{-1} ; \quad \beta = 10^{-11} \text{ m}^{-1} \text{ s}^{-1}$$

Estimando W_{meso} pela eq da continuidade, superestima-se um valor em 10^2 m/s .

W aqui é mto menor pois é estimada em função da divergência do mov. geostrófico, que auditamos ser dominante na quase-geostrofia.

Quais são as consequências dinâmicas da pequenez de w ?

$$\vec{\omega} = \xi \vec{i} + \chi \vec{j} + J \vec{k}$$

\hookrightarrow 3 eqs de vorticidade \Rightarrow componentes ξ, χ, J

A mais relevante para meso e longa escala é a componente J

$$\vec{\omega}_a = \xi \vec{i} + \chi \vec{j} + (J+f) \vec{k}$$

Ver no caderno do Belmino pq J é a mais importante. Aqui vemos que ela é a mais importante pois é balanceada por f , que é a mais importante em meso e longa escala.

$$\xi = \frac{\partial w}{\partial y} - \frac{\partial v}{\partial z} ; \quad \chi = \frac{\partial u}{\partial z} - \frac{\partial w}{\partial x} ; \quad \zeta = \frac{\partial v}{\partial x} - \frac{\partial u}{\partial y}$$

A componente nortical da equação da vorticidade absoluta =

$$\boxed{\underbrace{\frac{\partial \zeta}{\partial t}}_{(i)} + \underbrace{\vec{v} \cdot \nabla \zeta}_{(ii)} - \underbrace{\left(\xi \frac{\partial}{\partial x} + \chi \frac{\partial}{\partial y} + \zeta \frac{\partial}{\partial z} \right) w}_{(iii)} - \underbrace{f \frac{\partial w}{\partial z}}_{(iv)} + \underbrace{\beta v}_{(v)} = 0 \quad (7)}$$

(i) Variação local da vorticidade relativa

(ii) Variação advectiva da V.R.

(iii) Inclinação do tubo de vórtice

(iv) Estiramento do tubo de vórtice

(v) Advecção de vorticidade planetária

$$\beta v = v \frac{\partial f}{\partial y}$$

$$\frac{U^2}{L^2} \quad \frac{U^2}{L^2} \quad \underbrace{\frac{U}{H L} \cdot \frac{R_0 H}{L} U}_{R_0 \frac{U^2}{L^2}} \quad \underbrace{\frac{U}{L H} \frac{R_0 H U}{L}}_{R_0 \frac{U^2}{L^2}} \quad \beta U \quad \beta U$$

$$f \frac{w}{H} = f_0 R_0 \frac{H}{L} \frac{U}{H} = \cancel{f_0} \frac{U^2}{\cancel{f_0} L^2} = O\left(\frac{U^2}{L^2}\right)$$

$$f \frac{\partial w}{\partial z} = O\left(\beta U, \frac{U^2}{L^2}\right)$$

Na eq (7), em meso escala, os termos entre parênteses são $O(R_0)$ menores do que os outros:

A inclinação é desprezível!

$$\xi = \frac{\zeta}{\beta y} = \frac{\frac{U}{L}}{\beta L} = \frac{U}{\beta L^2}$$

	Meso	longa
ξ	1	0,002

$$\xi = \frac{\frac{d\zeta}{dt}}{\frac{d}{dt}\beta y} \Rightarrow \xi \text{ compensa a variação total de V.R. com a variação total de V.P.L.}$$

Quanto maior a escala, menos importante é a vorticidade relativa!

A inclinação do tubo de vórtice é um mecanismo extremamente insuficiente para geração de vorticidade em meso e larga escala!

Entendendo o mecanismo de inclinação

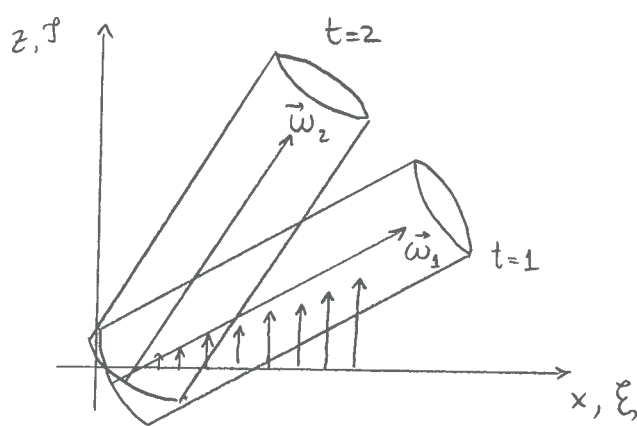
$$\frac{\partial f}{\partial t} = \xi \frac{\partial \omega}{\partial x}$$

Em $t=1$:

$$f > 0$$

$$\xi > 0$$

$$\frac{\partial \omega}{\partial x} > 0$$



Em $t=2$:

$$f_2 > f_1 \Rightarrow \frac{\partial f}{\partial t} \neq 0$$

20/06/07

Mapeamento de Função de Corrente Geostrofica

$$\frac{\partial}{\partial z} (4a) \Rightarrow \frac{\partial \psi}{\partial z} = - \frac{g}{f} \frac{\partial \rho}{\partial x} + O\left(R_0 \frac{U}{H}\right) \quad (8)$$

$$\frac{\partial \psi}{\partial z} = \frac{g}{f} \frac{\partial \rho}{\partial y} + O\left(R_0 \frac{U}{H}\right)$$

O Método dinâmico clássico utiliza a integração vertical de (8) para estimar velocidades geostóficas baroclinicas relativas a um nível de referência é partir de perfis de T e S .

Assim: $N(z) - N(-1h) = - \frac{g}{f} \int_{-1h}^z \rho \frac{\partial \alpha}{\partial x} dz' \quad (9)$

Em coordenadas isobáticas, (9) assume a forma de:

$$N(p) - N(p_0) = - \frac{1}{f} \frac{\partial}{\partial x} \int_{p_0}^p \alpha dp \quad (10)$$

$\underbrace{\int_{p_0}^p \alpha dp}_{-\Phi(p)} \Rightarrow$ pela eq hidrostática

$$\Phi = \Phi(p) + \Delta\Phi(x, y, t) \quad (11)$$

\downarrow \rightarrow Anomalia do Geopotencial
Geopotencial
Padrão

$$\Rightarrow \Delta\Phi = - \int_{p_0}^p \delta_\alpha dp, \quad \text{onde} \quad \delta_\alpha = \alpha(35, 15, p) - \alpha(S, T, p)$$

$$(11) \Rightarrow \begin{cases} N_p - N_{p_0} = \frac{1}{f} \frac{\partial}{\partial x} \Delta\Phi \\ \mu_p - \mu_{p_0} = - \frac{1}{f} \frac{\partial}{\partial y} \Delta\Phi \end{cases} \quad (12) \quad N_{p_0} = \mu_{p_0} \approx 0$$

Se $\hat{\beta} \ll 1$, $\hat{\beta} = \frac{\beta L}{f_0} \ll 1 \Rightarrow N_p = \frac{1}{\underbrace{f_0 \left(1 + \frac{\beta y}{f_0}\right)}_{\approx 1}} \frac{\partial}{\partial x} \Delta\Phi \Rightarrow$

$$\begin{cases} N = \frac{1}{f_0} \frac{\partial}{\partial x} \Delta\Phi \\ \mu = - \frac{1}{f_0} \frac{\partial}{\partial y} \Delta\Phi \end{cases} \quad (13)$$

$$\frac{\partial u}{\partial x} + \frac{\partial v}{\partial y} = - \frac{1}{f_0} \frac{\partial^2 \Delta\Phi}{\partial x \partial y} + \frac{1}{f_0} \frac{\partial^2 \Delta\Phi}{\partial y \partial x} = 0$$

\rightarrow o movimento, em $O(1)$ é não-divergente, logo podemos definir uma função de corrente ψ

$$\boxed{\psi = \frac{\Delta\Phi}{f_0}} \rightarrow \text{Função de corrente geostrofica em coordenadas isobáticas}$$

(13) \Rightarrow

$$N = \frac{\partial \psi}{\partial x}$$

$$u = - \frac{\partial \psi}{\partial y}$$

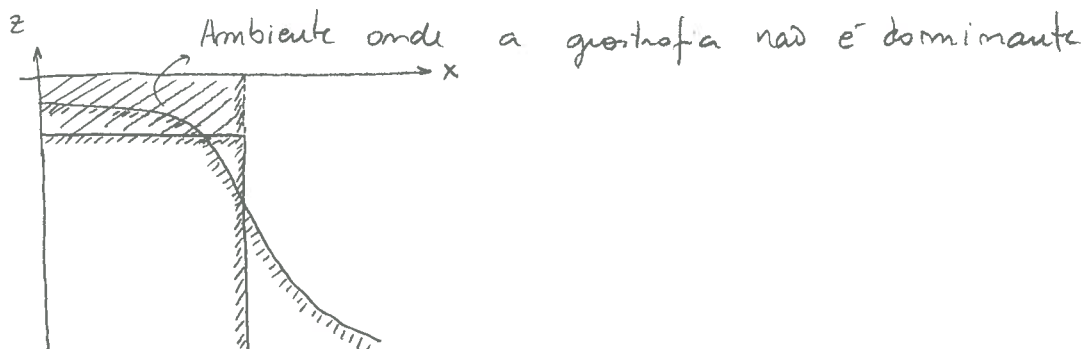
Aspectos práticos do cálculo de ψ

- \rightarrow estabelecer o p_0 (NR)
- \rightarrow calcular $\Delta \Phi$ para cada estágio em todos os níveis p
- \rightarrow calcular $\psi = \frac{\Delta \Phi}{f} \Rightarrow$ definir f_0
- \rightarrow Mapas de ψ devem respeitar as condições de contorno de dinâmica de fluidos. Não pode existir fluxo normal a um contorno sólido

Newman: $\frac{\partial \psi}{\partial n} = 0$, onde n é a coordenada normal ao cont.
ou

Dirichlet: $\psi = \text{constante}$ ao longo do contorno sólido

- \rightarrow o contorno sólido seria uma linha de corrente
- \rightarrow condição de livre escoamento ("free-slip")
- \rightarrow aproximação da parede vertical \Rightarrow teoria QQ



- 1) Elegu uma isóbata de referência e usá-la como linha de corrente
- 2) Remover a média de Ψ para usar $\Psi = \text{cte} = 0$ no contorno

REVISÃO: APROXIMAÇÃO GG NUM OCEANO HOMOGÊNEO

Fundo Plano

→ conjunto de 3-4 aproximações:

- 1) Aproximação geostrofica + hidrostática $R_0, \delta \ll 1 \quad E_H, E_V \ll 1$
- 2) Aproximação do plano β de lat. médias $\hat{\beta} \ll 1$
- 3) Aproximação das espessuras $h = H + \Delta h \quad R_0 = \frac{\Delta h}{H} \ll 1$

Se R_0 e $\hat{\beta} \ll 1$,

$$(14) \quad \begin{aligned} N &= \underbrace{\frac{1}{\bar{\rho} f} \frac{\partial p}{\partial x}}_{O(1)} + O(R_0 U) \quad \longrightarrow \quad N = N_g + N_a \\ \mu &= \underbrace{-\frac{1}{\bar{\rho} f} \frac{\partial p}{\partial y}}_{O(1)} + \underbrace{O(R_0 U)}_{O(2)} \quad \longrightarrow \quad \mu = \mu_0 + \mu_a \end{aligned} \quad \frac{N_a, \mu_a}{N_g, \mu_g} = O(R_0)$$

Pela equação da continuidade

$$O(1): \quad \frac{\partial \mu_g}{\partial x} + \frac{\partial N_g}{\partial y} = 0 \quad (15)$$

$$O(R_0): \quad \frac{\partial \mu_a}{\partial x} + \frac{\partial N_a}{\partial y} + \frac{\partial w_a}{\partial z} = 0 \quad (16)$$

Num oceano homogêneo, $p = \bar{p} g \eta$

10

$$\text{Por (14)} \Rightarrow u = u_g + u_a = -\frac{g}{f_0} \frac{\partial \eta}{\partial y} + u_a \quad (17)$$

$$v = v_g + v_a = \frac{g}{f_0} \frac{\partial \eta}{\partial x} + v_a$$

$$\text{Por (15) e (17)} \Rightarrow \psi = \frac{g}{f_0} \eta$$

Reescrevendo as equações do movimento:

$$\begin{aligned} O(1): \quad -f_0 v_g &= -g \frac{\partial \eta}{\partial x} \\ f_0 u_g &= -g \frac{\partial \eta}{\partial y} \end{aligned} \quad (18)$$

$$\begin{aligned} O(R): \quad \frac{\partial u_g}{\partial t} + u_g \frac{\partial u_g}{\partial x} + v_g \frac{\partial u_g}{\partial y} - f_0 v_a - \beta y v_g &= 0 \\ \frac{\partial v_g}{\partial t} + u_g \frac{\partial v_g}{\partial x} + v_g \frac{\partial v_g}{\partial y} + f_0 u_a + \beta y u_g &= 0 \end{aligned} \quad (19)$$

$$\text{Tomando o rotacional de (19)} \Rightarrow \frac{\partial}{\partial x} (19.2) - \frac{\partial}{\partial y} (19.1)$$

$$\frac{dJ_g}{dt} + f \left(\frac{\partial u_a}{\partial x} + \frac{\partial v_a}{\partial y} \right) + \beta v_g = 0 \quad (20)$$

Equação da Vorticidade Absoluta QG

Eliminando $\nabla_H \cdot \vec{n}_a$ através da equação da continuidade, mas antes tomemos um novo formato para ela

$$\frac{\partial h}{\partial t} + \frac{\partial}{\partial x} (hu) + \frac{\partial}{\partial y} (hv) = 0 \quad (21) \quad \text{e como } R_0, R_s \ll 1 \text{ e } h = H + \eta$$

$$\frac{d\eta}{dt} + H \left(\frac{\partial u_a}{\partial x} + \frac{\partial v_a}{\partial y} \right) = 0 \quad (22)$$

Com (22) em (20):

11

$$\frac{d\mathcal{I}_g}{dt} - \frac{d}{dt} \left(\frac{f}{H} \eta \right) + \frac{d}{dt} (\beta y) = 0$$

$$\frac{d}{dt} \left(\mathcal{I}_g + \beta y - \frac{f}{H} \eta \right) = 0 \quad (23)$$

$$q \equiv \text{Vorticidade Potencial Q.G.} \Rightarrow \frac{dq}{dt} = 0$$

↓

É a linearização de $\frac{\mathcal{I}+f}{H}$

Para escrever (23) em função de uma só variável $\Rightarrow \psi$

$$\mathcal{I}_g = \frac{\partial v}{\partial x} - \frac{\partial u}{\partial y} = \nabla^2 \psi = \nabla^2 \left(\frac{g}{f_0} \eta \right) \quad (24)$$

$$-\frac{f}{H} \eta = -\frac{f^2}{gH} \psi \quad (25)$$

Com (24) e (25) em (23)

$$\frac{dq}{dt} = 0 ; \quad \boxed{q = \nabla^2 \psi + \beta y - \frac{1}{R_d^2} \psi} \quad , \quad \text{onde } R_d = \frac{\sqrt{gH}}{|f_0|}$$

Relação de Inversibilidade $q \leftrightarrow \psi$

Lembrando o teorema de Ertel

$$\frac{d\pi}{dt} = 0, \quad \pi = \frac{1}{\rho_0} (\vec{\mathcal{I}} + f\vec{k}) \cdot \nabla \chi, \quad \chi = \frac{z - h_b}{h}, \quad h = H + \eta - h_b$$

↳ função de status

$$\pi = \frac{\mathcal{I}+f}{H} \Rightarrow \text{não linear}$$

Notemos que sob $R_0, \hat{\beta}, R_0 \ll 1$

$$q = [\tau^{-1}]$$

$$\pi = \underbrace{\frac{f}{H}}_{\text{V.P. básica}} + \frac{q}{H} + O(R_0^2) \Rightarrow \frac{d\pi}{dt} = \frac{d}{dt} \frac{f}{H} + \frac{1}{H} \frac{dq}{dt} = 0 \Rightarrow \boxed{\frac{dq}{dt} = 0}$$

V.P. básica

A VPQG é uma anomalia perante a VP básica

12

Podemos definir então o R_0 :

$$R_0 = \frac{g}{f}$$

MAC 0122

$\frac{g}{H}$ é o derivado de $\phi(R_0)$ de $\frac{f}{H}$

21/06/07

Abrindo um parêntese para uma aula de Oceanografia Regional.

AJUSTAMENTO GEOSTRÓFICO

[Rossby, 1938]

Solução no Gill

Como se dá o ajustamento geostrofico uma vez que é estabelecido um gradiente de pressão no oceano?

Hipóteses:

- Oceano homogêneo de águas rasas ($\rho = \text{cte}$, $\delta \ll 1$)
- fundo plano ($z = -H$)
- plano f (menor escala para o mov. geostrofico) $f = f_0$
- sistema de equações linearizado.

Sistema Hidrodinâmico

$$\frac{\partial u}{\partial t} - f v = -g \frac{\partial \eta}{\partial x} \quad (1)$$

$$\frac{\partial v}{\partial t} + f u = -g \frac{\partial \eta}{\partial y} \quad (2)$$

$$\frac{\partial \eta}{\partial t} + H \left(\frac{\partial u}{\partial x} + \frac{\partial v}{\partial y} \right) = 0 \quad (3)$$

Obtendo equações de onda: Tomando a divergência

13

(1) - (2) e usando (3):

$$\frac{\partial}{\partial x} (1): \frac{\partial}{\partial t} \frac{\partial u}{\partial x} - f \frac{\partial v}{\partial x} = -g \frac{\partial^2 \eta}{\partial x^2}$$

$$\frac{\partial}{\partial y} (2): \frac{\partial}{\partial t} \frac{\partial v}{\partial y} + f \frac{\partial u}{\partial y} = -g \frac{\partial^2 \eta}{\partial y^2} \quad (+)$$

$$\underbrace{\frac{\partial}{\partial t} \left(\frac{\partial u}{\partial x} + \frac{\partial v}{\partial y} \right)}_{-\frac{1}{H} \frac{\partial \eta}{\partial t}} - \underbrace{f \left(\frac{\partial v}{\partial x} - \frac{\partial u}{\partial y} \right)}_f + g \nabla_H^2 \eta = 0$$

$$\boxed{\frac{\partial^2 \eta}{\partial t^2} - \underbrace{g H \nabla_H^2 \eta}_{c^2} + f H \eta = 0} \quad (4)$$

Agora, tomamos o rotacional de (1) - (2) e obter a equação da vorticidade absoluta:

$$\frac{\partial \zeta}{\partial t} + f \underbrace{\left(\frac{\partial u}{\partial x} + \frac{\partial v}{\partial y} \right)}_{-\frac{1}{H} \frac{\partial \eta}{\partial t}} = 0 \quad \Rightarrow \quad \frac{\partial}{\partial t} \underbrace{\left(\zeta + \frac{f}{H} \eta \right)}_{\zeta [s^{-1}]} = 0 \quad (5)$$

(5) é a forma linearizada da conservação de vort. potencial

$$Q = \frac{\zeta}{H} = \frac{f}{H} - \frac{f}{H^2} \eta \quad (6) \quad [m^{-1}s^{-1}]$$

(6) em (5)

$$\frac{\partial}{\partial t} \left(\frac{f}{H} - \frac{f}{H^2} \eta \right) = \frac{\partial Q}{\partial t} = 0 \quad \rightarrow \quad Q \text{ é conservado.}$$

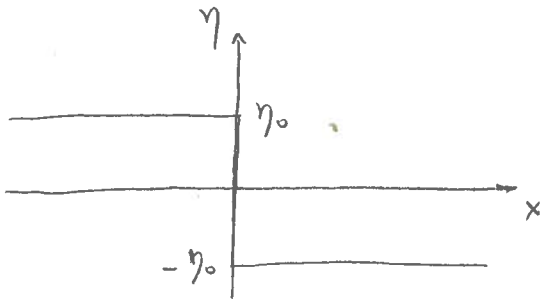
$$\text{Logo, } Q(x, y, t) = Q(x, y, 0) \quad (7)$$

Condições iniciais do problema hidrodinâmico:

14

$$u = v = 0, \text{ em } t = 0 \quad (8)$$

$$\eta = -\eta_0 \operatorname{sgn}(x), \text{ onde } \operatorname{sgn} \text{ é a função sinal}$$



$$\operatorname{sgn}(x) = \begin{cases} 1 & \text{p/ } x > 0 \\ -1 & \text{p/ } x < 0 \end{cases}$$

Assim,

$$\underbrace{\frac{f}{H} - \frac{f}{H^2} \eta}_{Q(x,y,t)} = \underbrace{\frac{f}{H^2} \eta_0 \operatorname{sgn}(x)}_{Q(x,y,0)} \quad (9)$$

Com (9) em (4):

$$\frac{\partial^2 \eta}{\partial t^2} - c^2 \nabla_H^2 \eta + f^2 \eta = -f^2 \eta_0 \operatorname{sgn}(x) \quad (10)$$

SOLUÇÃO ESTACIONÁRIA

$$\frac{\partial}{\partial t} = 0 \quad \text{p/ } (1) - (3)$$

$$(1) \rightarrow -f\sigma = -g \frac{\partial \eta}{\partial x} \quad (11)$$

$$(2) \rightarrow f u = -g \frac{\partial \eta}{\partial y}$$

$$f\psi = g\eta = \frac{p}{\rho} \quad (13)$$

$$\uparrow$$

$$u = -\frac{\partial \psi}{\partial y}; \quad v = \frac{\partial \psi}{\partial x} \quad (12)$$

$$(3) \rightarrow \frac{\partial u}{\partial x} + \frac{\partial v}{\partial y} = 0 \quad \Rightarrow \text{ existe uma função de corrente } \psi$$

$$f = \frac{\partial \sigma}{\partial x} - \frac{\partial u}{\partial y} = \nabla_H^2 \psi = \nabla_H^2 \left(\frac{g}{f} \eta \right) \quad \Rightarrow \quad f = \nabla_H^2 \left(\frac{g}{f} \eta \right)$$

A forma estacionária de (10) sob $\eta = \eta(x)$,

15

$$-c^2 \frac{\partial^2 \eta}{\partial x^2} + f^2 \eta = f^2 \eta_0 \operatorname{sgn}(x) \quad (15)$$

$$\frac{\partial^2 \eta}{\partial x^2} - \frac{f^2}{c^2} \eta = \frac{f^2}{c^2} \eta_0 \operatorname{sgn}(x) \quad (15)$$

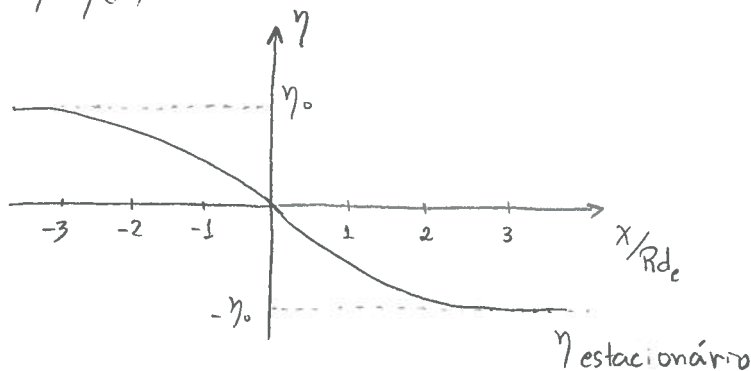
$$R_{de} = \frac{\sqrt{gH}}{|f|} = \frac{c}{|f|}$$

$$\eta = \eta_{\text{hom.}} + \eta_{\text{part.}}$$

A solução para η :

$$\eta = \eta_0 \begin{cases} -1 + e^{-x/R_{de}} & \text{p/ } x > 0 \\ 1 - e^{x/R_{de}} & \text{p/ } x < 0 \end{cases} \quad (16)$$

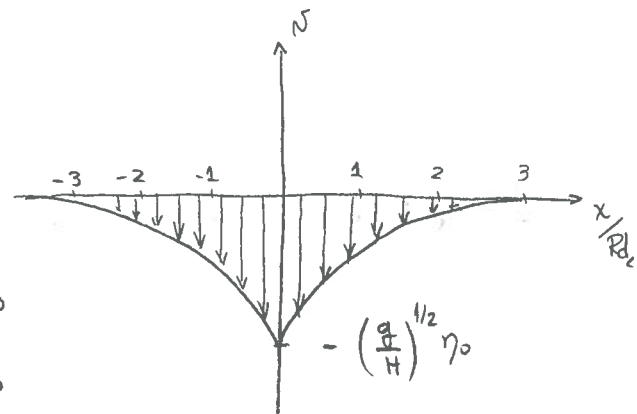
$$\eta = \eta(x)$$



O campo de velocidades é dado por:

$$u = 0$$

$$v = -\frac{g}{f} \eta_0 \left(\frac{1}{R_{de}} e^{-x/R_{de}} \right) \quad (17)$$



O diferencial é obter uma equação de onda, ou seja, não desprezando a ac. local. Ai sim, eliminando $\frac{\partial}{\partial t}$

da equação de onda, obter-se a

solução estacionária, mostrando o Ajustamento Geostrofico

Esta solução mostra matematicamente como as inclinações de η são mantidas permanentes pelo ajuste geostrofico.

→ fundo plano, oceano homogêneo

Teorema de Erthel: $\frac{d\pi}{dt} = 0$, $\pi = \frac{p+f}{H}$ [$m^2 s^{-2}$]

Aproximações QG: $R_o, R_o \ll 1$; $\beta \ll 1$; $h = H + \eta$ ~~$\Rightarrow R_o = \frac{\eta}{H} \ll 1$~~

(lat. médias)

$\underbrace{\hspace{10em}}_{\equiv R_o}$

↓
Nº de Rossby do
Estinamente

→ Os 3 termos da vorticidade potencial em meso escala (plan., rel., est.) tem que ter $O(R_o)$

$\pi = \underbrace{\frac{f_o}{H}}_{O(1)} + \underbrace{\frac{q}{H}}_{O(R_o)} + O(R_o^2)$

$q = \underbrace{\nabla^2 \psi}_{v.r} + \underbrace{\beta y}_{\text{var. de } V_{Plan}} - \underbrace{\frac{1}{R_d} \psi}_{[s^{-1}]}$

v_{Est}

VPQG

$R_o = \frac{q}{f_o}$

- Quem conhece o escoamento (ψ), conhece a VPQG (q)
 - Quem conhece a VPQG (q), conhece o escoamento (ψ)
- } Inversibilidade

A Aproximação Quase-Geostrófica num Oceano continuamente estratificado

OCE
Oceano Cont. Estn.

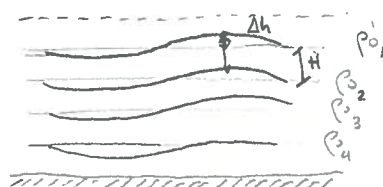
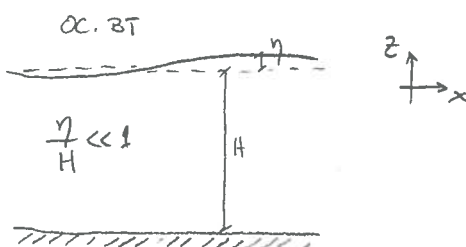
→ No oceano BT: $\psi = \psi(x, y, t)$

→ No oceano BC: $\psi = \psi(x, y, z, t)$, pois $p = p_o(z) + \tilde{p}(x, y, z, t)$ (1)

$p = p_o(z) + \tilde{p}(x, y, z, t)$ (2)

→ boussinesq: $\frac{\tilde{\rho}}{\rho_o} \ll 1$ ~ equivale à

aproximação das espessuras $\sim R_o$ no OCE



$\frac{\Delta h}{H} \ll 1$

→ O balanço de $O(1)$, levando em consideração

17

as hipóteses: $Ro, Ro_t, \beta, Ro_s, \ll 1$

$$u_g = - \frac{1}{\bar{\rho} f} \frac{\partial \tilde{p}}{\partial y} = - \frac{\partial}{\partial y} \left(\frac{\tilde{p}}{\bar{\rho} f} \right)$$

$$n_g = \frac{1}{\bar{\rho} f} \frac{\partial \tilde{p}}{\partial x} = \frac{\partial}{\partial x} \left(\frac{\tilde{p}}{\bar{\rho} f} \right)$$

$\psi_g = \frac{\tilde{p}}{\bar{\rho} f}$

→ O balanço de $O(Ro)$,

$$\frac{du_g}{dt} - f n_a - \beta y n_g = 0 \quad (4)$$

$$\frac{dn_g}{dt} + f u_a + \beta y u_g = 0$$

Tomando o rotacional de (4),

$$\frac{d}{dt} (f_g + \beta y) - f \left(\frac{\partial u_a}{\partial x} + \frac{\partial n_a}{\partial y} \right) = 0 \quad (5)$$

$-\frac{\partial w_a}{\partial z}$

Vamos usar a eq da conservação de densidade, $\frac{dp}{dt} = 0$ (6)

E vamos considerar $Ro, Ro_t, Ro_s \ll 1$, em (6):

$$\frac{d\tilde{p}}{dt} + w \frac{\partial \tilde{p}}{\partial z} = 0 \quad (7)$$

$$\rightarrow \boxed{w = - \frac{1}{\frac{\partial \tilde{p}}{\partial z}} \frac{d\tilde{p}}{dt}} \quad (8)$$

Com (8) em (5)

$$\frac{d}{dt} (f_g + \beta y) + \frac{d}{dt} \left(\frac{\partial}{\partial z} \frac{f}{\partial \tilde{p} / \partial z} \tilde{p} \right) = 0 \quad (9)$$

Recombamos a função de corrente geostrofica

Pela equação hidrostática,

18

$$\frac{\partial \tilde{p}}{\partial z} = -\tilde{\rho} g \Rightarrow \tilde{\rho} f \frac{\partial \psi}{\partial z} = -\tilde{\rho} g \Rightarrow \tilde{\rho} = \frac{-\tilde{\rho} f}{g} \frac{\partial \psi}{\partial z} \quad (11)$$

Com (10) em (11) em (9),

$$\frac{d}{dt} (\nabla^2 \psi + \beta y) - \frac{d}{dt} \left(\frac{\partial}{\partial z} \frac{\tilde{\rho} f^2}{g \partial \rho / \partial z} \frac{\partial \psi}{\partial z} \right) = 0$$

Usando a definição $N^2(z) = -\frac{g}{\tilde{\rho}} \frac{\partial \rho}{\partial z}$

$$\underbrace{\frac{d}{dt} \left(\underbrace{\nabla^2 \psi}_{V.R.} + \underbrace{\beta y}_{V.plan} + \underbrace{\frac{\partial}{\partial z} \frac{f^2}{N^2} \frac{\partial \psi}{\partial z}}_{V.est.} \right)}_q = 0 \quad (12)$$

Comparando os termos de estiramento dos modelos BT e BC:

$$BT: \left| O \left(\frac{\psi}{R_d^2} \right) \right|$$

$$\text{mas: } R_{d_e} = \frac{\sqrt{gH}}{|f|} ; \quad R_{d_i} = \frac{NH}{|f|}$$

definições?

$$BC: O \left(\frac{f_0^2}{N^2 H^2} \psi \right)$$

$$\hookrightarrow \left| O \left(\frac{\psi}{R_{d_i}^2} \right) \right|$$

A relação entre a vorticidade relativa e a vorticidade de estiramento resulta em importante implicações dinâmicas que tornam distintos os mecanismos de conservação de ζ em meso e larga escalas:

$$Bu = O \left(\frac{v. \text{relativa}}{v. \text{estiramento}} \right) = \frac{\psi L^{-2}}{\psi R_{d_i}^2} = \frac{R_{d_i}^2}{L^2}$$

$$Bu = \frac{R_{d_i}^2}{L^2}$$

Nº de Burger

$$Bu \ll 1 \rightarrow NH \ll fL$$

19

Ou a estratificação é fraca ou estamos num regime de larga escala. E qq um dos casos, a vorticidade de estiramento domina, e o balanço de vorticidade esguanda semelhanças com o fluido homogêneo

$$Bu \gg 1 \rightarrow NH \gg fL$$

Ou a estratificação é intensa ou ^{estamos} no limite dos menores escalas dos movimentos OG. Em qq um dos casos, a vorticidade relativa domina e a estratificação robusta reduz o acoplamento vertical. Assim, cada "camada" tenderá a se comportar como uma estrutura praticamente bidimensional.

$$Bu \sim O(1) \rightarrow NH \approx fL$$

Os dois mecanismos competem, ou seja, estamos em meso-escala, aonde os movimentos são da ordem do raio de deformação interno.

→ buscar soluções para (12)

→ imporemos tampas rígidas na superfície e no fundo (fundo plano)

→ linearizaremos (12)

$$\boxed{\frac{\partial}{\partial t} \left(\nabla^2 \psi + \frac{\partial}{\partial z} \frac{f^2}{N^2} \frac{\partial \psi}{\partial z} \right) + \beta \frac{\partial \psi}{\partial x} = 0} \quad (13) \rightarrow \text{forma linearizada de (12)}$$

→ condições de contorno:

$$\boxed{w = 0 \text{ em } z = 0, -H}$$

$$\begin{aligned} \hookrightarrow (8) &\Rightarrow - \frac{1}{\partial \rho / \partial z} \frac{d}{dt} \left(- \frac{\bar{\rho} f}{g} \frac{\partial \psi}{\partial z} \right) = 0 \\ &\quad (11) \end{aligned}$$

$$\underbrace{\frac{\bar{\rho} f}{g \partial \rho / \partial z}}_0 \underbrace{\left(\frac{d}{dt} \frac{\partial \psi}{\partial z} \right)}_{=0} = 0 \quad \text{em } z = 0, -H$$

$$\frac{d}{dt} \frac{\partial \psi}{\partial z} = 0 \quad \text{em } z = 0, -H$$

$$\text{Linearizando: } \boxed{\frac{\partial}{\partial t} \frac{\partial \psi}{\partial z} = 0 \text{ em } z = 0, -H} \quad (14)$$

→ Assumir uma solução ψ' por separação de variáveis:

$$\psi(x, y, z, t) = \underbrace{\sum_i \Psi_i(x, y, t)}_{\text{funções amplitude}} \cdot \underbrace{F_i(z)}_{\text{Modo de Estrutura vertical}} \quad (15)$$

(15) em (13),

$$\underbrace{- \frac{1}{\frac{\partial \Psi_i}{\partial t}} \left(\frac{\partial}{\partial t} \nabla^2 \Psi_i + \beta \frac{\partial \Psi_i}{\partial x} \right)}_{\text{depende de } (x, y, t)} = \underbrace{\frac{1}{F_i} \left(\frac{\partial}{\partial z} \frac{f^2}{N^2} \frac{\partial F_i}{\partial z} \right)}_{\text{depende de } (z)} = \lambda_i$$

A única chance de uma corsa que depende de (x, y, t) ser igual a uma corsa que depende de (z) , é essa corsa ser igual a uma constante $\underline{\lambda_i}$, que é chamada de AUTO-VALOR!

21

$$\frac{\partial}{\partial z} \frac{f^2}{N^2} \frac{\partial F_i}{\partial z} + \lambda_i F_i = 0$$

(16) Equações da Estrutura Vertical

$$\frac{\partial}{\partial t} \left(\nabla^2 \Psi_i - \lambda_i \Psi_i \right) + \beta \frac{\partial \Psi_i}{\partial x} = 0$$

(17) Equações da Evolução da Amplitude

Se olharmos para (17), percebemos que o termo $\lambda_i \Psi_i$ é o termo de estiramento, que tinha a forma $\frac{\Psi}{Rd_i^2}$. Com isso podemos obter a expressão para o cálculo dos Rd_i :

$$\boxed{\lambda_i = \frac{1}{Rd_i^2}} \Rightarrow \boxed{\lambda_i = \frac{f^2}{g h_{e_i}}} \quad \text{pot. equivalente}$$

→ Resolvendo os modos dinâmicos

$$\begin{cases} \frac{\partial}{\partial z} \frac{f^2}{N^2} \frac{\partial F_i}{\partial z} + \lambda_i F_i = 0 \\ \frac{\partial F_i}{\partial z} = 0 \quad \text{em } z=0, -H \end{cases} \quad (18)$$

Este sistema é resolvido numericamente nos softwares Matlab

A estrutura do oceano é dividida em infinitas estruturas.

Infinitos oceanos homogêneos separados individualmente. A pot.

equivalente é a pot. que cada pequeno oceano homogêneo

deveria ter para que estivesse em ajuste geostrófico de acordo com os Rd_i^2 aqui vistos

Os F_i devem ser ortogonais:

22

$$\frac{1}{H} \int_{-H}^0 F_i(z) F_j(z) dz = \delta_{ij} \quad \begin{cases} i=j, 1 \\ i \neq j, 0 \end{cases} \quad (19)$$

As amplitudes Ψ_i são obtidos pela projeção do modo F_i no perfil $\Psi(x, y, z, t)$:

$$\Psi_i = \frac{\frac{1}{H} \int_{-H}^0 \Psi F_i dz}{\frac{1}{H} \int_{-H}^0 F_i^2 dz} \quad (20)$$